

(164)

展開された脱炭モデル式のダイナミック制御への適用について

(排ガス情報のダイナミック制御への適用に関する研究-2)

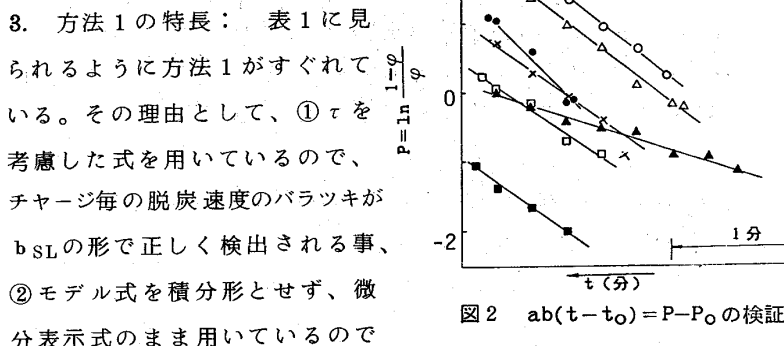
神戸製鋼所 中央研究所 成田貴一 富田昭津 片桐 望 佐藤哲郎
加古川製鉄所 喜多村実 川崎正蔵 金塚泰夫

1. 緒言 前報では脱炭モデルの理論的展開を行なつた。本報ではそれらをダイナミック制御へ適用する方法とその結果について述べる。なお、式の番号と記号の意味は全て前報に準ずる。

2. ダイナミック制御への適用法とその結果： 前報図1中の諸式は様々な形で適用が可能であるが、次の2点がまず考えられる。

2.1 方法1：SL測定時の C_0, φ より(5)式を用いて $b (= b_{SL})$ を求め、次にその b_{SL} と時々刻々読みこまれる φ より再び(5)式を用いて C を算出する。図1にこうして得られた吹止時の計算 C と実績吹止 $C (C_E)$ の対応を示す。また、 C_E の予言能力の比較を表1に示す。

2.2 方法2：(6)式より排ガス情報のみでも b が得られ、前と同様に C を計算できる。図2に P と t のプロットを示す。直線関係が良く成立している。なお、上記いずれの場合にも $b_E = \alpha b_{SL} + \beta$ (b_E ：吹止時の C , φ より得られる b) の形の式を用いて C_E に合せている。

図2 $ab(t - t_0) = P - P_0$ の検証

C_{SL} の誤差が対数的に縮少されて C_E に影響を及ぼす。また、 C_O, C_{O_2} の分析誤差もSL測定時、吹止時で同方向に影響するのでこれらの誤差がそれ程は効かない事、の2点が考えられる。得られた b_{SL} の正しさは図3・4からも検証される。これらの図は温度制御精度の向上、淬化状況の検出・制御の可能性を示すものもある。さらに、方法2によって b を連続的に検出できるが、これによつて真のダイナミック制御へさらに近づける事も考えられる。

4. 実操業への適用 以上の結果をふまえて方法1を実操業に適用してみた所、低炭素鋼で90%以上の同時適中率が得られた。排ガス情報とSL情報を組合せて最適ダイナミック制御法を作り上げる事は次の課題である。

記号： SL：サブランス、 CSL：サブランス測定時の鋼浴炭素濃度

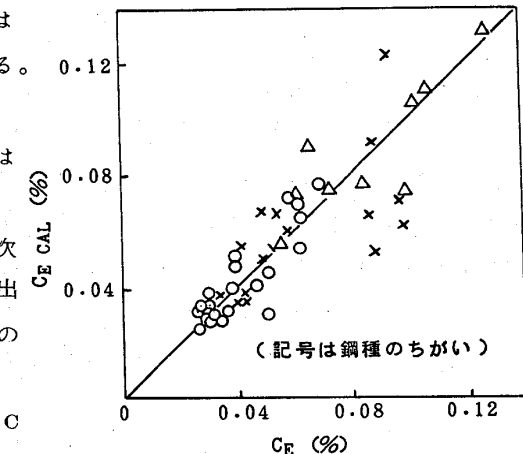
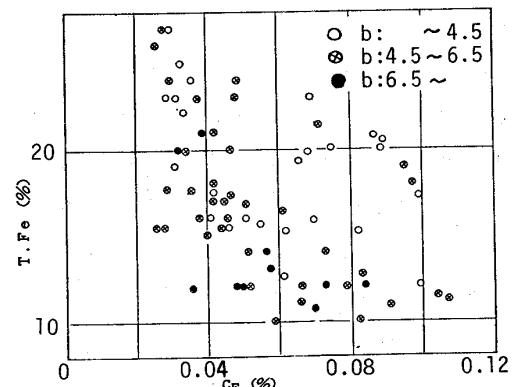
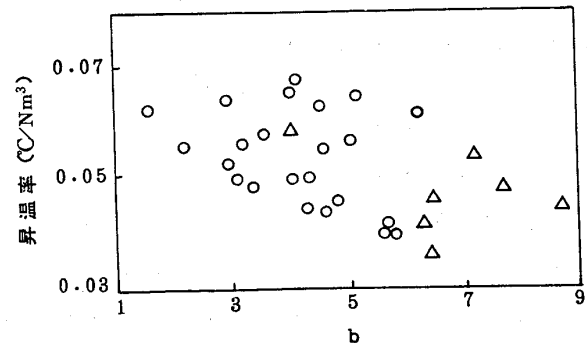


図1 方法1の予言精度

図3 T.Fe と脱炭酸素効率指標 b の関係図4 b と昇温率の関係表1 C_E 予言精度の比較 (ΔC の σ)

Cレンジ (%)	~0.06	0.06~0.1	0.1~0.2
サブランス法	0.017	0.018	0.030
方法2	0.008	0.015	0.019
方法1	0.007	0.012	0.016